

ghanbari@um.ac.ir :

(دریافت مقاله: ۱۳۸۹/۴/۶؛ پذیرش: ۱۳۸۹/۷/۱۵)

β

اصلی در ساختار قرص، و شکسانی و خودگرانشی هستند که نقش عمدہ‌ای در انتقال تکانه زاویه‌ای در قرص‌های گازی شکل دارند. اگر جرم قرص در مقایسه با جرم ستاره مرکزی قابل صرف نظر کردن نباشد خودگرانش اهمیت پیدا می‌کند. یکی از عوامل اصلی در توصیف نظری قرص‌های برافراشی و شکسانی در قرص‌های است. به دلیل ساختار تحولی قرص‌های برافراشی انتخاب بهترین الگو و شکسانی بسیار اهمیت دارد. الگوی α اولین بار توسط شاکورا و سانیوف معرفی شد [۲]. تحول زمانی قرص‌های برافراشی خودگرانشی با الگوی α مطالعه شده است [۳]. اخیراً داشل

قرص‌های برافراشی، سیستم‌های شناخته شده‌ای هستند که در اطراف بسیاری از اجرام اختر فیزیکی مانند هسته‌های فعال کهکشانی، ستارگان دوتایی و اجرام ستاره‌ای جوان مشاهده می‌شوند. بیش از نیمی از ستارگان رشتۀ اصلی توسط قرص‌های گازی و گرد و غباری احاطه شده‌اند. قرص‌های برافراشی اطراف ستارگان رشتۀ اصلی می‌توانند منشأ تولید سیستم‌های سیاره‌ای باشند. ساختار چنین قرص‌هایی از طریق حل‌های خود مشابهی با فرض حالت ناپایدار مطالعه شده است [۱]. به نظر می‌رسد که عوامل

به جهت مطالعهٔ فرآیندهای برافراشی قرص را تقارن محور فرض می‌کنیم و از مختصات استوانه‌ای استفاده می‌کنیم.
معادلات حاکم بر سیستم به صورت زیر خواهد بود:

$$\frac{\partial \sigma}{\partial t} + \frac{1}{r^2} \frac{\partial}{\partial r} (r^2 \sigma v_r) = 0, \quad (1)$$

$$\frac{\partial v_r}{\partial t} + v_r \frac{\partial v_r}{\partial r} = -\frac{1}{\rho} \frac{\partial p}{\partial r} - \frac{\partial \varphi}{\partial r} + \frac{v_\varphi^2}{r} - \frac{B_\varphi}{4\pi \rho r} \frac{\partial}{\partial r} (r B_\varphi), \quad (2)$$

$$\frac{\partial}{\partial t} (r v_\varphi) + v_r \frac{\partial}{\partial r} (r v_\varphi) = \frac{1}{r \sigma} \frac{\partial}{\partial r} (\sigma r^2 \frac{\partial \Omega}{\partial r}). \quad (3)$$

که v_φ, v_r, p, ρ به ترتیب چگالی، فشار، سرعت شعاعی و سرعت سمتی قرص گازی هستند و φ پتانسیل گرانشی قرص گازی در داخل شعاع r است. فرض می‌کنیم رابطهٔ بین فشار و چگالی گاز به صورت زیر باشد:

$$p = K \rho^\gamma, \quad (4)$$

که γ و K دو ثابت هستند. ضریب پلی تروب γ رابطهٔ بی در رو فشار-چگالی را توصیف می‌کند. حد عمودی قرص در هر شعاعی با h داده شده است که نیم پهنه‌ای قرص خواهد بود:

$$h = \frac{c_s}{\frac{1}{4\pi G\rho} \frac{c_s^2}{\gamma}}, \quad (5)$$

و در نهایت از آنجا که میدان مغناطیسی را چنبره‌ای در نظر گرفتیم؛ با استفاده از معادلات MHD معادلهٔ القا به صورت زیر خواهد بود:

$$\frac{\partial B_\varphi}{\partial t} + \frac{\partial}{\partial r} (v_r B_\varphi) = 0. \quad (6)$$

برای حل معادلات (۳-۶) به کمک الگوی خود مشابه‌ی، آنها را بدون بعد می‌کنیم. در این روش از کمیت بدون بعد ζ شامل شعاع r و زمان t استفاده می‌شود که در این ترکیب G و K (ثابت گرانشی)، ثابت هستند:

$$\zeta = K^{\frac{-1}{2}} G^{\frac{\gamma-1}{2}} r t^{\gamma-1}. \quad (7)$$

این کمیت پارامترهای بدون بعد را تعیین می‌کند [۳]. در این کار $t > ۰$ و مبدأ زمان $t = ۰$ مطابق با تشکیل هسته در نظر گرفته می‌شود. بنابراین داریم:

$$\frac{\partial}{\partial t} = \frac{\partial}{\partial t'} + (\gamma-1) \frac{\zeta}{t} \frac{\partial}{\partial \zeta}, \quad (8)$$

و همکاران الگوی β را به عنوان و شکسانی قرص‌ها معرفی کردند که این الگو برای قرص‌های خود گرانشی و غیر خود گرانشی رفتار متفاوتی نشان می‌دهد [۴]، در حالی که در حد غیر خود گرانشی با الگوی آلفا هم ارز خواهد بود. این الگو در قرص‌های برافراشی خود گرانشی به طور متفاوتی عمل می‌کند، عباسی و همکاران الگوی β را برای قرص‌های برافراشی پیش ستاره‌ای خود گرانشی با روش خود مشابهی به کار برند [۵]. آنها نشان دادند که تفاوت در دو الگوی α و β در حد خود گرانشی در دینامیک قرص موثر خواهد بود. شواهد رصدی نشان می‌دهد که در قرص‌های برافراشی میدان مغناطیسی وجود دارد و دینامیک قرص را تحت تأثیر خود قرار می‌دهد. مثل وقوع ناپایداری، که این ناپایداری در قرص می‌تواند باعث انتقال تکانه زاویه‌ای شود [۶]. اگرچه انتظار می‌رود که در بسیاری از نمونه‌های اختیار فیزیکی مانند قرص‌های پیش ستاره‌ای سطح یونیدگی که منشأ ایجاد میدان مغناطیسی در قرص است پایین باشد، اما می‌توان اثراً عامل را در فواصل نزدیکتر به قرص مورد مطالعه قرار داد.

حل‌های خود مشابه کاربرد زیادی در معادلات حاکم بر سیستم‌های اختیار فیزیکی دارند. حل‌های خود مشابه در قرص‌های برافراشی اعمال شده است [۷]. مانیز در این مقاله از روش خود مشابه برای قرص‌های برافراشی استفاده کرده‌ایم. بیشتر شبیه‌سازی‌ها در قرص‌های برافراشی نشان می‌دهد که مؤلفه چنبره‌ای برای میدان مغناطیسی قرص‌ها در نظر گرفته می‌شود و از آنجا که معمول است به دلیل چرخش قرص و برای سادگی از این مؤلفه میدان مغناطیسی استفاده شود، می‌توان گفت به کار گرفتن مؤلفه چنبره‌ای میدان مغناطیسی انتخاب درستی در فیزیک قرص‌های برافراشی خواهد بود. در اینجا فرض کرده‌ایم قرص خود گرانشی، پلی تروب با و شکسانی β ، در حضور میدان مغناطیسی چنبره‌ای است. در این مقاله اثر میدان را در ساختار دینامیکی قرص بررسی کرده‌ایم و نتایج حاصل را با نوع بدون حضور میدان مقایسه کرده‌ایم [۵].

از آنجا که معادلات بنیادی حاکم بر سیستم شامل بخش‌های وابسته به زمان و مکان است، می‌توانیم با به کارگیری حل‌های خودمشابهی بعد زمان را در این معادلات خارج کرده و بعد مکان را بر حسب متغیر خودمشابهی بازنویسی کنیم. در نتیجه با استفاده از معادلات (۷) و (۸) معادلات بنیادی (۱) و (۲) و (۳) و (۶) به صورت زیر در می‌آیند:

$$\frac{1}{\xi} \frac{d}{d\xi} (\xi \sum u) = (3\gamma - 4) \sum, \quad (22)$$

$$u \frac{du}{d\xi} = - \frac{c_1}{\sum} \frac{d \sum}{d\xi} - \frac{M}{\xi^2} + \frac{J}{\xi^3} \\ + (2\gamma - 3)u + (2 - \gamma)(\gamma - 1)\xi \quad (23)$$

$$- \frac{B(\xi)}{\gamma} \frac{\partial}{\partial \xi} (\xi B(\xi)) \sum^\gamma \xi, \\ u \frac{dJ}{d\xi} = \frac{1}{\sum} \frac{d}{d\xi} (\beta \xi^\gamma \sum J \frac{d}{d\xi} (\frac{J}{\xi})) + (2\gamma - 3)J, \quad (24)$$

$$B \left(\frac{\partial u}{\partial \xi} + (2 - 2\gamma) \right) = - \frac{\partial B}{\partial \xi} u, \quad (25)$$

که u به صورت زیر تعریف می‌شود:

$$u = V_r - (2 - \gamma)\xi. \quad (26)$$

حال باید با استفاده از روش‌های عددی به حل این دسته از

معادلات پردازیم.

از آنجا که حل این دسته از معادلات بدون در نظر گرفتن هیچ تقریبی مشکل و پیچیده خواهد بود، مرسوم است در قرص‌های برافراشی از تقریبی به نام حد برافراش آهسته استفاده شود. با این تقریب، می‌توان گفت بر افزایش قرص بسیار آرام صورت می‌گیرد، در این صورت می‌توان از سرعت شعاعی در مقایسه با سرعت چرخشی صرف نظر کرد. در معادله (۲۴) جمله مریبوط به میدان مغناطیسی را می‌توان به دو جمله تفکیک کرد که یک جمله آن شب فشار مغناطیسی و جمله دیگر تنش مغناطیسی خواهد بود.

در این حد در معادله (۲۴) جمله گرانش و نیروی خروج

$$\frac{\partial}{\partial r} = K^{\frac{-1}{2}} G^{\frac{\gamma-1}{2}} t^{\gamma-2} \frac{\partial}{\partial \xi}. \quad (27)$$

برای تغییر متغیرها به شکل بدون بعد از K و G استفاده می‌کنیم به این دلیل که ما به کلیه بخش‌های وابسته به زمان در شکل معادلات خود مشابهی نیاز داریم. دیگر کمیت‌های فیزیکی (توابع وابسته به r و t) به کمیت‌های خودمشابهی به صورت زیر تبدیل می‌شوند:

$$v_r(t, r) = K^{\frac{1}{2}} G^{\frac{1-\gamma}{2}} t^{1-\gamma} V_r(\xi), \quad (28)$$

$$v_\varphi(t, r) = K^{\frac{1}{2}} G^{\frac{1-\gamma}{2}} t^{1-\gamma} V_\varphi(\xi), \quad (29)$$

$$j(t, r) = K G^{1-\gamma} t^{\gamma-2\gamma} J(\xi), \quad (30)$$

$$\sigma(t, r) = (2\pi)^{-1} K^{\frac{1}{2}} G^{\frac{-(1+\gamma)}{2}} t^{-\gamma} \Sigma(\xi), \quad (31)$$

$$\rho(t, r) = (4\pi\gamma)^{\frac{1}{\gamma}} G^{-1} t^{-\gamma} \sum^\gamma(\xi), \quad (32)$$

$$P(t, r) = (4\pi\gamma)^{-1} K G^{-\gamma} t^{-\gamma} \sum^\gamma(\xi), \quad (33)$$

$$B_\varphi(t, r) = K^{\frac{1}{2}} G^{\frac{1-\gamma}{2}} (4\pi)^{\frac{1}{\gamma}} \gamma^{\frac{1-\gamma}{\gamma}} t^{-\gamma} B(\xi), \quad (34)$$

$$v(t, r) = K G^{1-\gamma} t^{\gamma-2\gamma} v'(\xi), \quad (35)$$

$$m(t, r) = K^{\frac{1}{2}} G^{\frac{1-2\gamma}{2}} t^{\frac{1-2\gamma}{\gamma}} M(\xi), \quad (36)$$

به طوری که :

$$J = \xi V_\varphi, \quad M = \frac{\xi \sum u}{3\gamma - 4}. \quad (37)$$

با توجه به شکل دیگر معادله پیوستگی:

$$\frac{\partial m}{\partial t} + v_r \frac{\partial m}{\partial r} = 0, \quad (38)$$

$$m = 2\pi \int_0^r \sigma r dr,$$

ما از الگوی β که توسط داشل و همکارانش [۴] معرفی شد

استفاده می‌کنیم:

$$v' = \beta \xi V_\varphi, \quad (39)$$

که در آن v' شکل بدون بعد وشكسانی است.

و (۳۱) داریم:

$$\Sigma = \frac{-1}{2q^2 u} (1 + (1 + 8bq^2)^{\frac{1}{2}}), \quad (32)$$

که اگر $b=0$ قرار دهیم به معادلات بدون حضور میدان مغناطیسی می‌رسیم. با استفاده از معادلات (۳۲) و (۳۰) و (۲۹) و (۲۷) و (۲۵) در نهایت یک معادله دیفرانسیل معمولی برای

به دست می‌آوریم:

$$\frac{dV_r}{d\xi} = \frac{e}{\beta\xi} \frac{(1+f)(V_r - \xi)^2 V_r}{((3+f)V_r - (1+f)\xi)} - \frac{\gamma(V_r - \xi)}{((3+f)V_r - (1+f)\xi)} + \frac{f(V_r - \xi)}{\xi((3+f)V_r - (1+f)\xi)}, \quad (33)$$

که در آن:

$$e = \left(\gamma b + \frac{s}{2q^2}\right)^{\frac{-1}{2}},$$

$$s = (1 + (1 + 8bq^2)^{\frac{1}{2}}),$$

$$f = \frac{\lambda b}{s} q^2.$$

با حل این معادله درجه یک به روش رانگ-کوتای مرتبه ۴ می‌توانیم توزیع سرعت شعاعی خود مشابهی، V_r را بر حسب متغیر خود مشابهی، به دست آوریم. با محاسبه V_r می‌توانیم $\sum(x), m(x), V_\varphi$ و سایر کمیت‌ها را هم بسادگی به دست آوریم. این معادله در تقریب برافزایش آهسته به دست آمده است. قبل از اینکه به حل عددی این معادله پردازیم می‌توانیم حد معادله (۳۳) را برای $\xi \rightarrow \infty$ و $\xi \rightarrow 0$ به دست آوریم. در حد $\xi \rightarrow \infty$ و $\xi \rightarrow 0$ داریم:

$$V_r = - \left(\frac{f\beta}{e(1+f)} + \frac{2}{(3+2f)} \right),$$

$$V_r = - \frac{\beta(3+2f)}{g(1+f)}, \quad \xi \rightarrow \infty$$

با استفاده از این حدود می‌توان به حل عددی معادلات پرداخت. در این صورت نمودارهای مربوط به هر کمیت را رسم می‌کنیم (شکل‌های ۱ تا ۴).

از مرکز و بخشی از جمله مربوط به میدان مغناطیسی دارای اهمیت هستند و از جمله شب فشار گاز و فشار مغناطیسی صرف نظر می‌کنیم. این تقریب در لایه‌های خارجی قرص جایی که سرعت شعاعی کم است و یا در قرص‌هایی که مقیاس زمانی و شکسانی نسبتاً بالایی دارند تقریب مناسبی است در این حد معادله (۲۴) برای $\gamma = 1$ به صورت زیر ساده می‌شود:

$$\frac{J^2}{\xi^3} - \frac{M}{\xi^2} - \frac{B^2}{\xi} = 0. \quad (27)$$

در این حالت بدون به کارگیری معادله القا به حل این دسته از معادلات می‌پردازیم. به عبارتی از رابطه بین میدان مغناطیسی و سرعت شعاعی صرف نظر می‌کنیم. در این صورت میدان مغناطیس ثابت فرض می‌شود.

اگر b نسبت فشار مغناطیسی به فشار گاز باشد، با استفاده از معادلات (۱۵) و (۱۸) داریم:

$$b = \frac{B^2}{2\Sigma^2},$$

با اختیار b برای نشان دادن تأثیر میدان، به رابطه زیر خواهیم رسید:

$$J = \frac{1}{(2b - \sum u)^{\frac{1}{2}}} \quad (28)$$

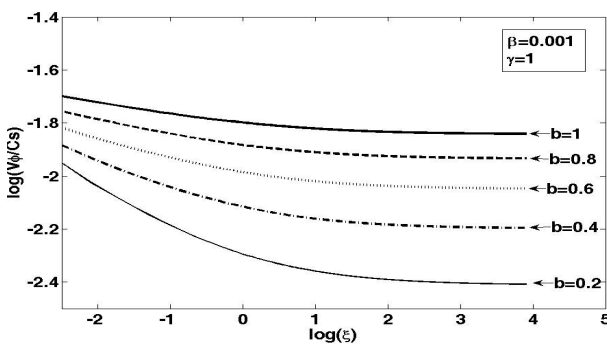
می‌توان معادله پیوستگی در شکل خود مشابهی را به صورت زیر نوشت:

$$\frac{d \ln \Sigma}{d \ln \xi} = -1 - \frac{d \ln u}{d \ln \xi} - \frac{\sum}{u} \quad (30)$$

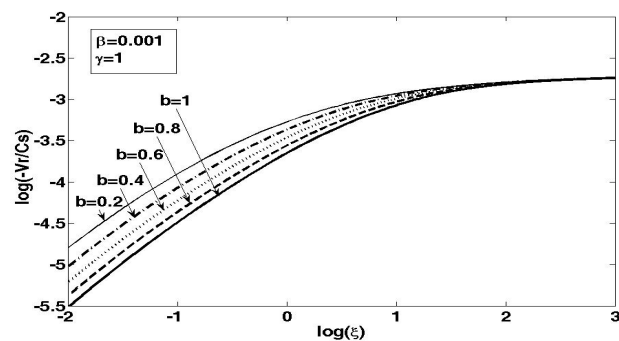
همچنین J را می‌توان بر حسب جرم محصور شده در قرص به صورت زیر نوشت:

$$J = qM \quad (31)$$

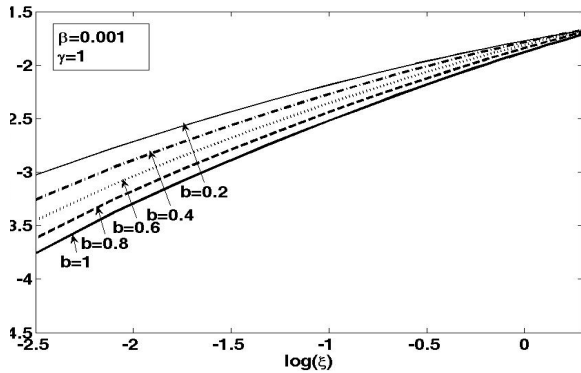
که q یک ثابت بدون بعد است و معادله (۳۱) رابطه بین J با جرم محصور در قرص را می‌دهد [۸ و ۹]. توزیع تکانه زاویه‌ای به شدت وابسته به قدرت و شکسانی محیط است. به نظر می‌رسد وقتی اثر و شکسانی در قرص اعمال می‌شود، توزیع q در قرص ممکن است تغییر کند. همچنین q پارامتری است که می‌توان توسط آن اثر خودگرانشی قرص را تغییر داد. با استفاده از معادلات (۲۹)



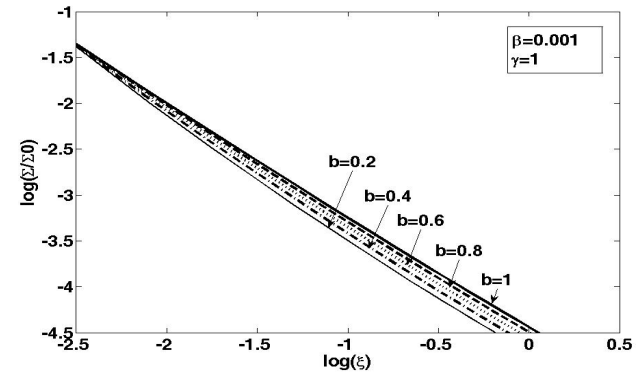
شکل ۲. نمودار مؤلفه سمتی سرعت که تابعی از فاصله است. با ثابت بودن مقادیر $q = 0.001$ ، $\beta = 0.001$ ، $\gamma = 1$ با تغییر میدان مغناطیسی به ازای $b = 0.2$ ، $b = 0.4$ ، $b = 0.6$ ، $b = 0.8$ ، $b = 1$ نمودار رسم شده است.



شکل ۱. مؤلفه شعاعی سرعت که تابعی از فاصله است. با ثابت بودن مقادیر $q = 0.001$ ، $\beta = 0.001$ ، $\gamma = 1$ با تغییر اثر میدان مغناطیسی به ازای مقادیر $b = 0.2$ ، $b = 0.4$ ، $b = 0.6$ ، $b = 0.8$ ، $b = 1$ نمودار رسم شده است.



شکل ۴. نمودار آهنگ برافراش جرم که تابعی از فاصله است. با ثابت بودن مقادیر $q = 0.001$ ، $\beta = 0.001$ ، $\gamma = 1$ با تغییر میدان مغناطیسی به ازای $b = 0.2$ ، $b = 0.4$ ، $b = 0.6$ ، $b = 0.8$ ، $b = 1$ نمودار رسم شده است.



شکل ۳. نمودار چگالی سطحی که تابعی از فاصله است. با ثابت بودن مقادیر $q = 0.001$ ، $\beta = 0.001$ ، $\gamma = 1$ با تغییر میدان مغناطیسی به ازای $b = 0.2$ ، $b = 0.4$ ، $b = 0.6$ ، $b = 0.8$ ، $b = 1$ نمودار رسم شده است

قرص را در نظر گرفتیم با توجه به اینکه با افزایش میدان مغناطیسی انرژی مغناطیسی بر انرژی جنبشی مواد در راستای شعاعی غالبه می‌کند می‌توان گفت مؤلفه سمتی میدان مغناطیسی، مواد را در همان راستا به همراه خود خواهد برد در نتیجه انتظار داریم با افزایش اثر میدان مغناطیسی سرعت سمتی افزایش پیدا کند (شکل ۲). از طرفی چون با افزایش میدان مغناطیسی، سرعت شعاعی کم می‌شود انتظار داریم چگالی سطحی افزایش پیدا کند. اثر افزایش میدان مغناطیسی بر چگالی سطحی مطابق شکل ۳ بیشتر در نواحی خارجی

شکل ۱ نشان می‌دهد که با افزایش اثر میدان مغناطیسی سرعت شعاعی در فواصل نزدیکتر به ستاره مرکزی کاهش پیدا می‌کند که حاکی از این است که در صورت حضور میدان مغناطیسی فشار مغناطیسی خواهیم داشت که همراه با فشار گاز مواد را به بیرون هدایت می‌کند و فروریزش مواد به سمت داخل قرص را کم می‌کند. پس انتظار داریم با افزایش اثر میدان و افزایش فشار مغناطیسی سرعت فروریزش مواد به سمت داخل کمتر شود. از طرفی چون مؤلفه سمتی میدان

داشته باشد و افزایش چگالی سطحی در اثر افزایش میدان مغناطیسی بیشتر دیده شود و به دلیل کاهش سرعت شعاعی با افزایش میدان مغناطیسی در لایه‌های داخلی مطابق شکل ۴ انتظار داریم آهنگ فروریزش مواد به سمت داخل کمتر شود.

قرص دیده می‌شود. در سرعت چرخشی نیز اثر افزایش میدان مغناطیسی در لایه‌های بیرونی قرص بیشتر دیده می‌شود. که از مقایسه این دو می‌توان گفت، در لایه‌های بیرونی قرص که اثر میدان مغناطیسی بر سرعت شعاعی بیشتر دیده می‌شود، انتظار داریم مواد در این نواحی فرصت بیشتری برای متراکم شدن

(2006) 357.

6. S Balbus, J Hawley, *APJ*, **376** (1991) 214.
7. J Ghanbari, S Abbassi and M Ghasemnezhad, *MNRAS*, **400** (2009) 422.
8. L Mestel, *MNRAS*, **126** (1963) 553.
9. T Tsuribe, *APJ*, **527** (1999) 102.

1. S Mineshige, M Umemura, *APJ*, **480** (1997) 167.

2. N Shakura, R Sunyaev, *A&A*, **24** (1973) 337.

3. S Mineshige, K Nakamaya and M Umemura, *PASJ*, **49** (1997) 439.

4. W J Duschl, P A Strittmatter and P L Biermann, *A&A*, **357** (2000) 1123.

5. S Abbassi, J Ghanbari and F Salehi, *A&A*, **460**